

Modelamiento del primer módulo de quorum sensing de *Pseudomonas aeruginosa*

Departamento de Física. Proyecto Final

Alejandro Castellanos Sánchez

Director: Juan Manuel Pedraza Leal, Ph.D.

Jurado: Manu Forero Shelton, Ph.D.



Agosto 2022

Introducción

Un poco de historia



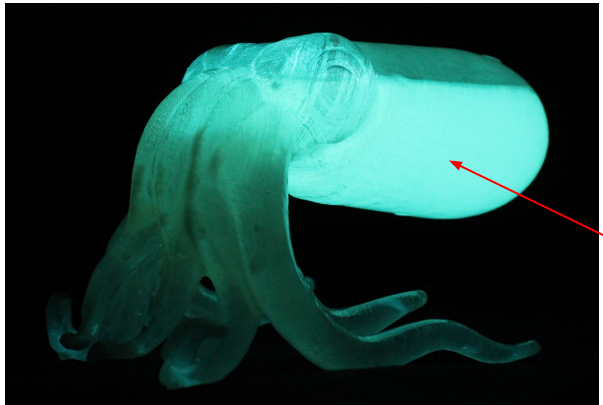
How bacteria “talk” Bonnie Bassler | TED 2009

Un poco de historia



How bacteria “talk” Bonnie Bassler | TED 2009

Un poco de historia

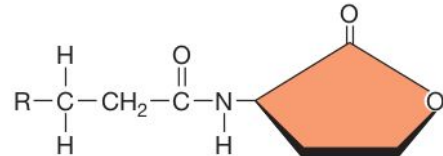


How bacteria “talk” Bonnie Bassler | TED 2009



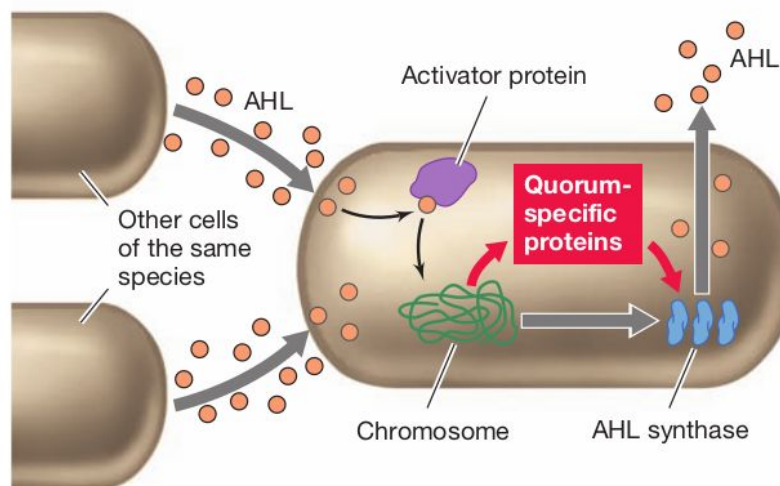
Vibrio fischeri

Modulo conónico de quorum sensing (QS) tipo LuxI/LuxR en bacterias Gram-negativas



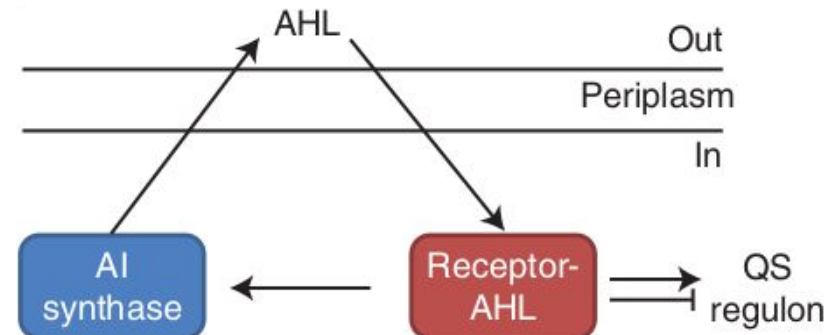
Acyl homoserine lactone (AHL)

(a)



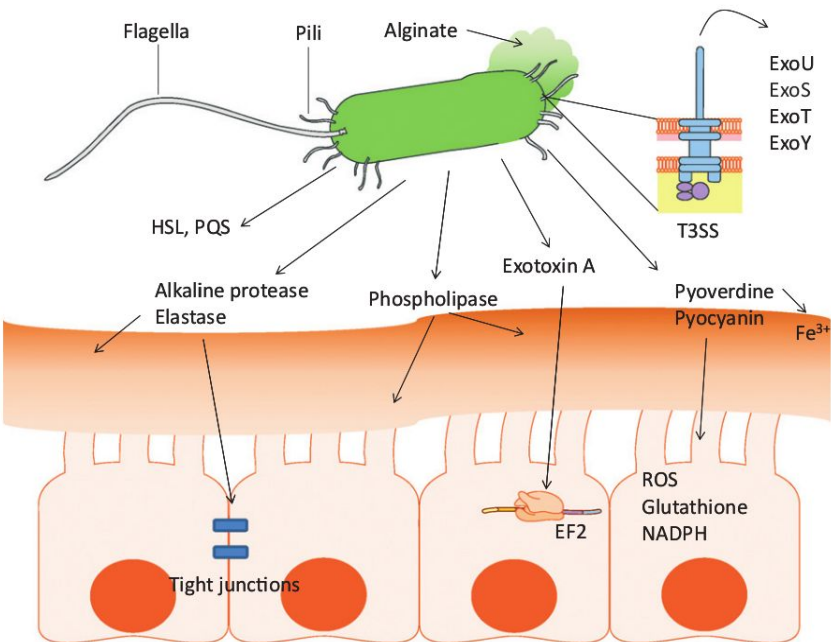
(b)

Madigan, 2015. *Brock Biology of Microorganisms*; Pearson

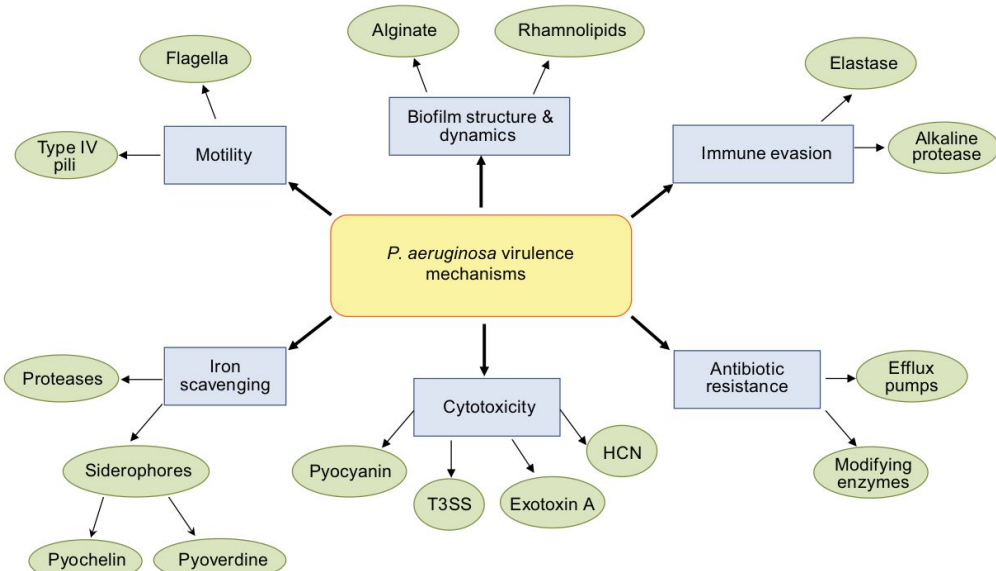


Rutherford & Bassler, 2012.
Cold Spring Harb Perspect Med

Patogenesis de *P. aeruginosa*

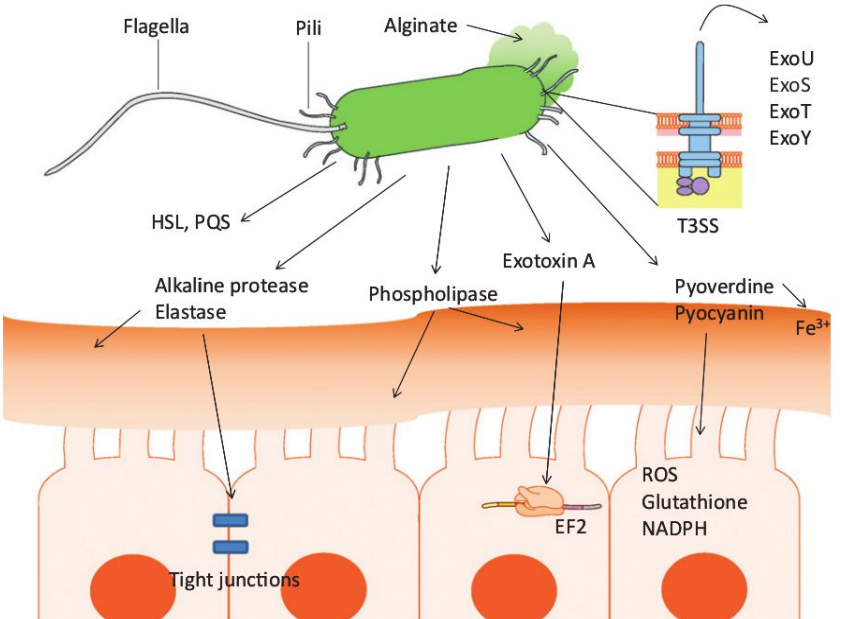


Gellatly & Hancock, 2013.
Pathogens and Disease

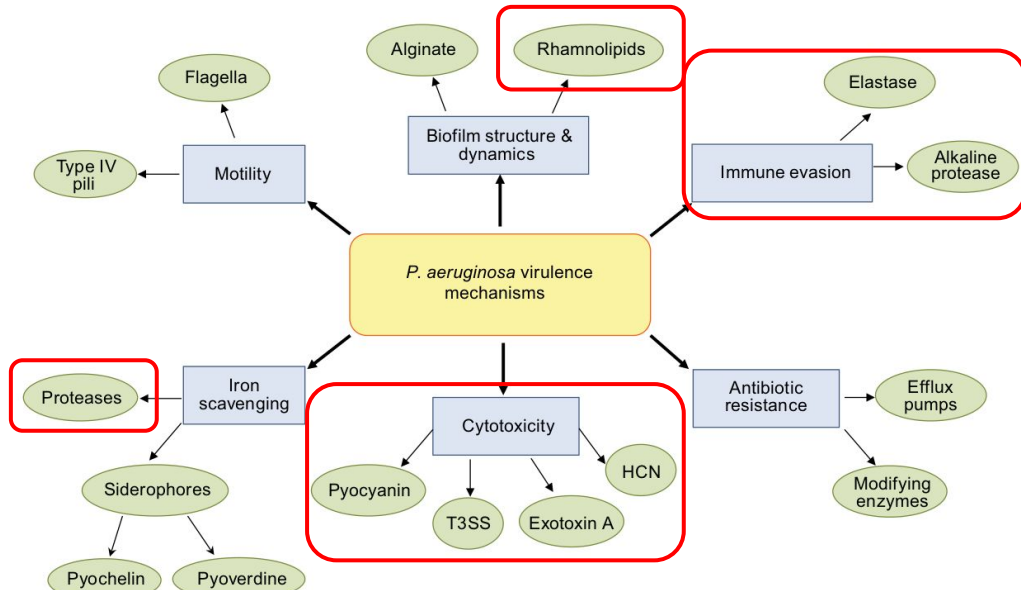


Lee & Zhang, 2015.
Protein & Cell

Patogenesis de *P. aeruginosa*



Gellatly & Hancock, 2013.
Pathogens and Disease

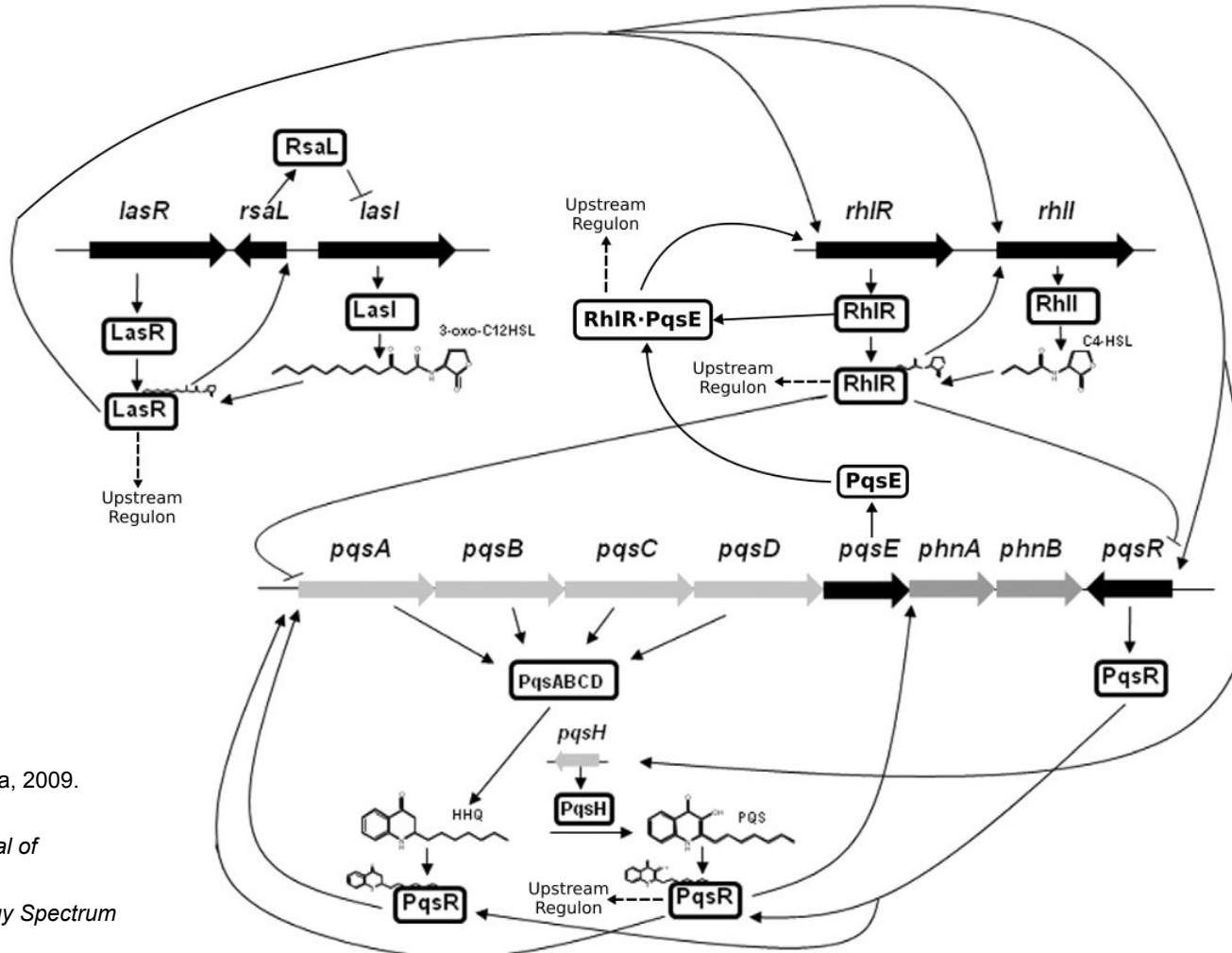


~10% de todos los genes de *P. aeruginosa* son regulados por QS

Lee & Zhang, 2015.
Protein & Cell

El sistema

Sistema de QS de
P. aeruginosa



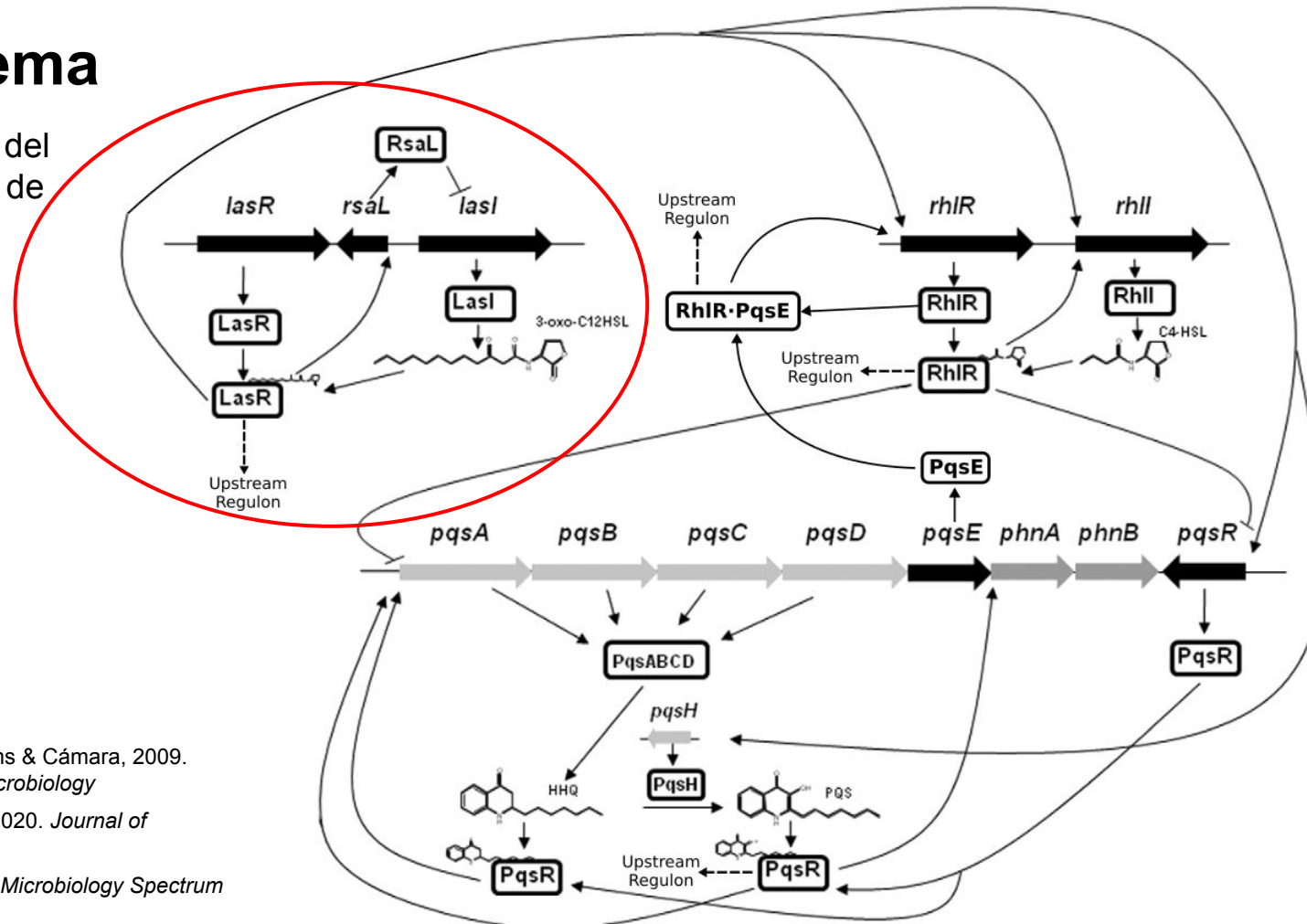
Adaptado de: Williams & Cámara, 2009.
Current Opinion in Microbiology

García-Reyes et al., 2020. *Journal of Medical Microbiology*

Simanek et al., 2022. *Microbiology Spectrum*

El sistema

Primer módulo del sistema de QS de *P. aeruginosa*



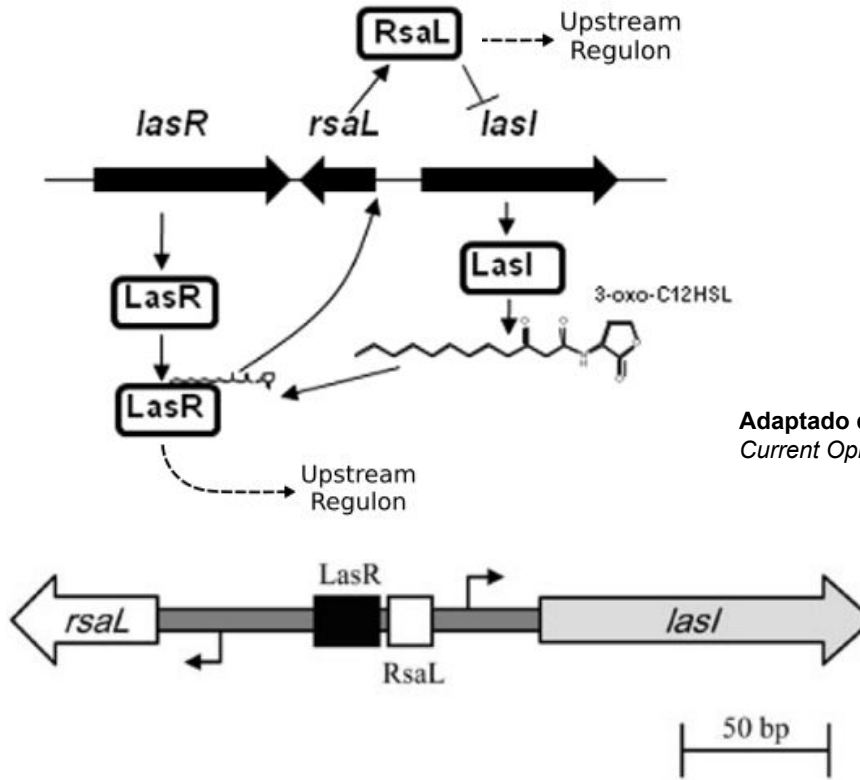
Adaptado de: Williams & Cámara, 2009.
Current Opinion in Microbiology

García-Reyes et al., 2020. *Journal of Medical Microbiology*

Simanek et al., 2022. *Microbiology Spectrum*

El sistema

Primer módulo del sistema de QS de *P. aeruginosa*



Adaptado de: Williams & Cámara, 2009.
Current Opinion in Microbiology

Rampioni et al., 2007.
Molecular Microbiology

Objetivo General

Modelar la dinámica de regulación del primer módulo de quorum sensing de *P. aeruginosa* a nivel poblacional.

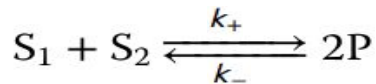
Objetivos Específicos

- Modelar la dinámica de regulación del primer módulo de quorum sensing de *P. aeruginosa* utilizando una aproximación determinista basada en la Ley de Acción de Masas.
- Modelar la dinámica de regulación del primer módulo de quorum sensing de *P. aeruginosa* utilizando una aproximación estocástica utilizando principios de la cinética química mediante el algoritmo de Gillespie.
- Analizar y comparar los resultados del modelamiento determinista y estocástico del sistema.

Marco Teórico

Modelamiento de Redes de regulación génica

Ley de Acción de Masa



$$v_+ = -k_+[S_1][S_2]$$

$$v_- = -k_-[P]^2$$

Ecuación de velocidad de reacción
(*Reaction rate equation*)

$$\left. \begin{aligned} \frac{d}{dt}S_1 &= \frac{d}{dt}S_2 = -k_+[S_1][S_2] + k_-[P]^2 \\ \frac{d}{dt}P &= -k_-[P]^2 + k_+[S_1][S_2] \end{aligned} \right\}$$

Funciones de entrada para sistemas de regulación génica

Unión de un represor/activador a un promotor

$$D + X \xrightleftharpoons[k_+]{k_-} X \cdot D$$
$$f([X]) = \frac{\beta}{1 + \frac{[X]}{K_D}}$$
$$f([X]) = \frac{\beta[X]}{K_D + [X]}$$

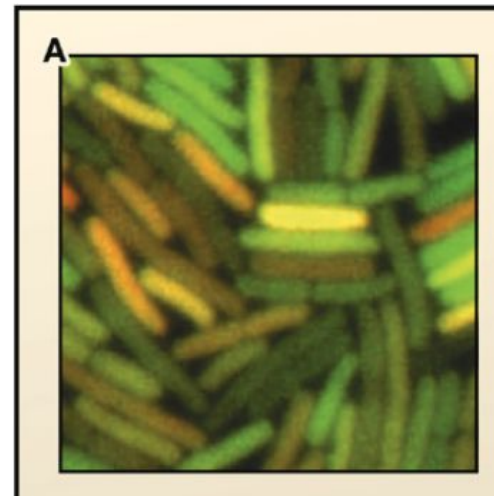
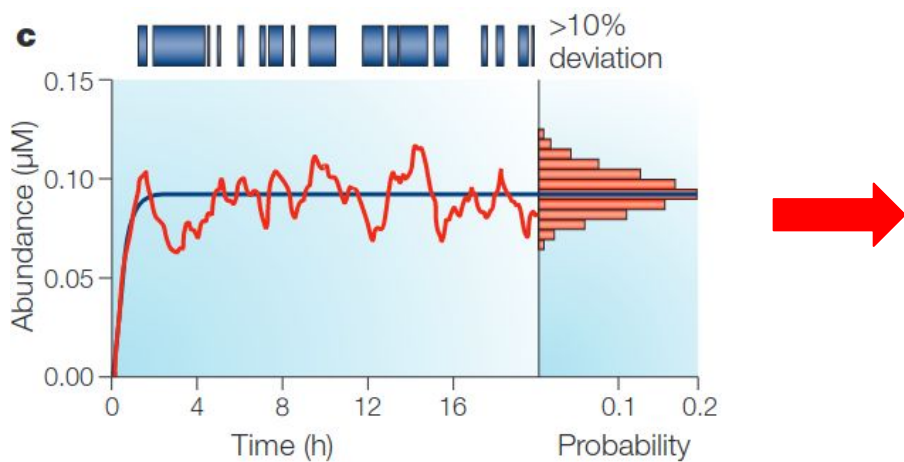
Ecuación de Hill

$$X + nI_x \xrightleftharpoons[k_+]{k_-} X \cdot (I_x)_n$$
$$\frac{[nI_X \cdot X]}{[X_T]} = \frac{1}{\left(\frac{K_X}{[I_X]}\right)^n + 1}$$

Klipp et al., 2016. *Systems Biology: a textbook*

Alon, 2020. *An Introduction to Systems Biology: Design Principles of Biological Circuits*; CRC Press

Ruido en redes de regulación génica



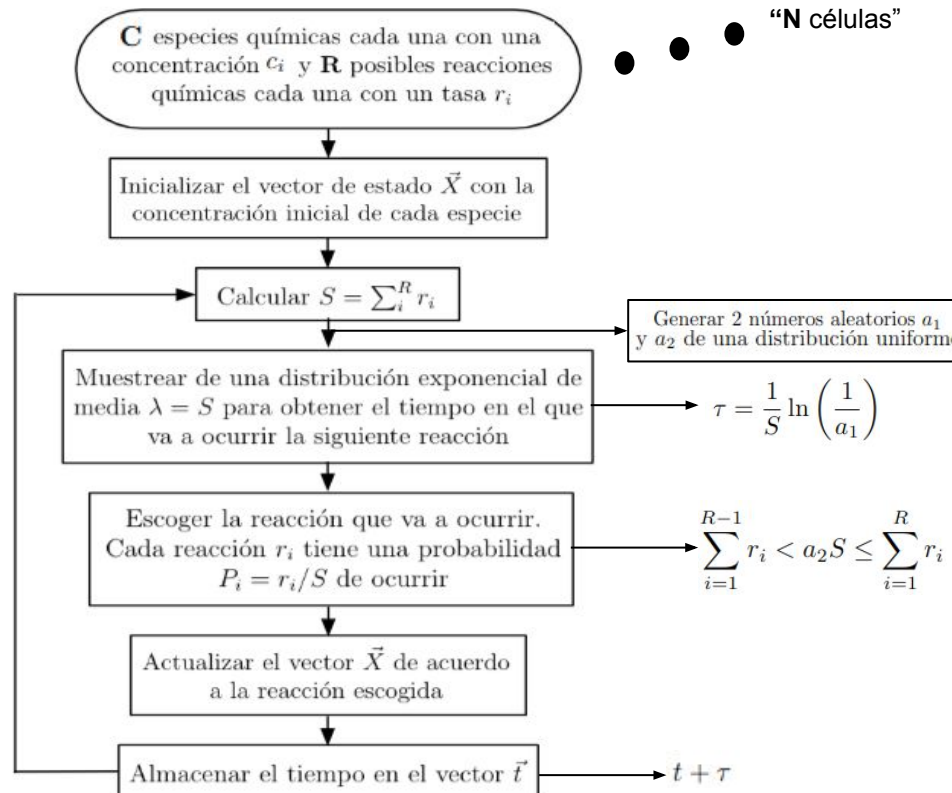
Kærn et al., 2005.
Nature reviews Genetics

Ruido

$$\eta = CV = \frac{\sigma}{\mu}$$

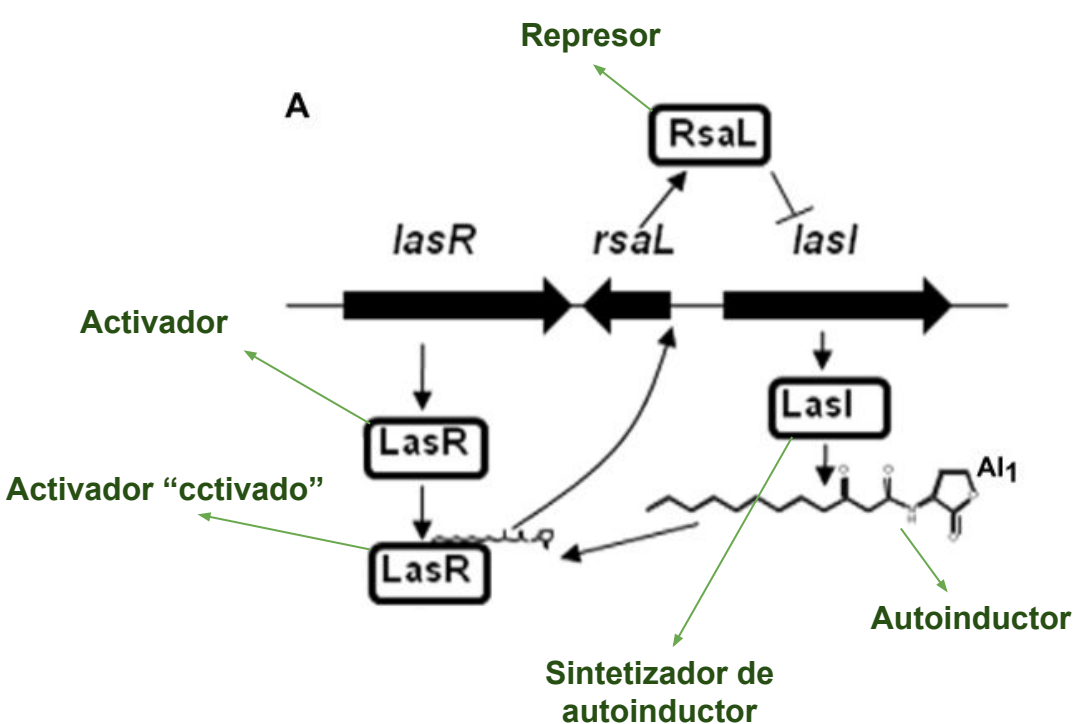
Raj & Oudenaarden,
2016. *Cell*

Algoritmo de simulación estocástica: El algoritmo de Gillespie

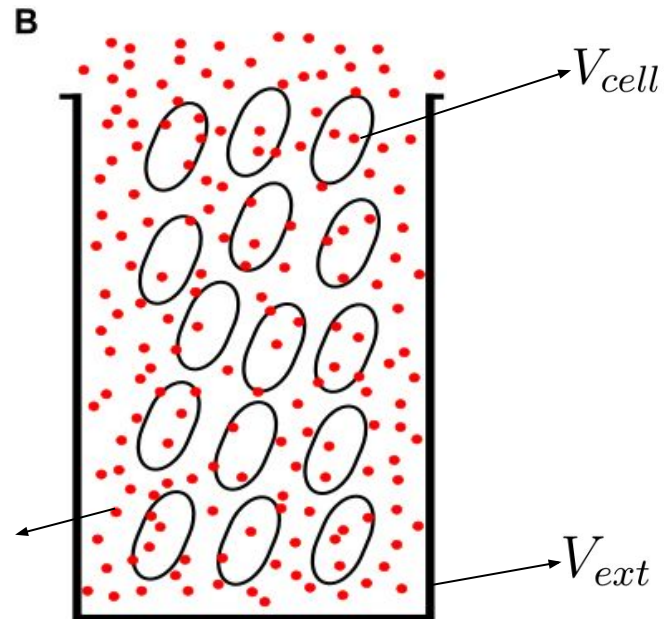


Metodología

Planteamiento y supuestos del modelo



$$N = 10, 100 \text{ y } 500$$



$$\text{Apiñamiento} \sim N \frac{V_{cell}}{V_{ext}}$$

Adaptado de: Williams & Cámara,
2009. *Current Opinion in Microbiology*

Modelamiento determinista

$$\dot{[lasR]} = \kappa_{lasR} - [lasR]\gamma_{lasR} \quad (3.1)$$

$$\dot{[LasR]} = [lasR]\kappa_{LasR} + [LasR \cdot AI_1]\sigma_{LasR \cdot AI_1} - [AI_1][LasR]\mu_{LasR \cdot AI_1} - [LasR]\gamma_{LasR} \quad (3.2)$$

$$\dot{[rsaL]} = \alpha_{rsaL} + \beta_{rsaL} \frac{[LasR \cdot AI_1]^{h_1}}{K_1^{h_1} + [LasR \cdot AI_1]^{h_1}} - [rsaL]\gamma_{rsaL} \quad (3.3)$$

$$\dot{[RsaL]} = [rsaL]\kappa_{RsaL} - [RsaL]\gamma_{RsaL} \quad (3.4)$$

$$\dot{[lasI]} = \alpha_{lasI} + \beta_{lasI} \frac{\left(\frac{[LasR \cdot AI_1]}{K_1}\right)^{h_1}}{\left(1 + \left(\frac{[LasR \cdot AI_1]}{K_1}\right)^{h_1}\right) \left(1 + \left(\frac{[RsaL]}{K_2}\right)^{h_2}\right)} - [lasI]\gamma_{lasI} \quad (3.5)$$

$$\dot{[LasI]} = [lasI]\kappa_{LasI} - [LasI]\gamma_{LasI} \quad (3.6)$$

$$\begin{aligned} \dot{[AI_1]} &= [LasI]\kappa_{AI_1} + [LasR \cdot AI_1]\sigma_{LasR \cdot AI_1} - [AI_1]([LasR]\mu_{LasR \cdot AI_1} + \gamma_{AI_1}) \\ &\quad - D \left(AI_1 - \frac{V_{cell}}{V_{ext}} AI_{1ext} \right) \end{aligned} \quad (3.7)$$

$$\dot{[AI_{1ext}]} = N \cdot D \left(AI_1 - \frac{V_{cell}}{V_{ext}} AI_{1ext} \right) - [AI_{1ext}] (\gamma_{AI1ext} + D_{away}) \quad (3.8)$$

$$\dot{[LasR \cdot AI_1]} = [AI_1][LasR]\mu_{LasR \cdot AI_1} - [LasR \cdot AI_1](\sigma_{LasR \cdot AI_1} + \gamma_{LasR \cdot AI_1}) \quad (3.9)$$

LasR : Activador

RsaL : Represor

LasI : Sintetizador de autoinductor

AI₁ : Autoinductor

LasR · AI₁ : Activador “activado”

κ : Tasa de producción

γ : Tasa de degradación

σ : Tasa de disociación

μ : Tasa de unión

α : Tasa basal de transcripción

β : Tasa máxima de transcripción

K : Concentración productora de la mitad de la activación/represión

n : Coeficiente de Hill

D : Constante de difusión “efectiva”

V : Volumen

N : Número de células en el medio

Modelamiento estocástico

	Descripción	Propensidad	Reacción
s_0	Creación lasR	κ_{lasR}	$lasR \rightarrow lasR + 1$
s_1	Degradoación lasR	$lasR * \gamma_{lasR}$	$lasR \rightarrow lasR - 1$
s_2	Creación LasR	$lasR * \kappa_{LasR}$	$LasR \rightarrow LasR + 1$
s_3	Unión $AI_1 + LasR$	$AI_1 * LasR * \mu_{LasR \cdot AI_1}$	$AI_1 \rightarrow AI_1 - 1$ $R \rightarrow Las \cdot LasR - 1$ $LasR \cdot AI_1 \rightarrow LasR \cdot AI_1 + 1$
s_4	Rompimiento $LasR \cdot AI_1$	$LasR \cdot AI_1 * \sigma_{LasR \cdot AI_1}$	$AI_1 \rightarrow AI_1 + 1$ $LasR \rightarrow LasR + 1$ $LasR \cdot AI_1 \rightarrow LasR \cdot AI_1 - 1$
s_5	Degradoación LasR	$LasR * \gamma_{LasR}$	$LasR \rightarrow LasR - 1$
s_6	Creación rsaL	$\alpha_{rsaL} + \beta_{rsaL} \frac{LasR \cdot AI_1^{h_1}}{K_1^{h_1} + LasR \cdot AI_1^{h_1}}$	$rsaL \rightarrow rsaL + 1$
s_7	Degradoación rsaL	$rsaL * \gamma_{rsaL}$	$rsaL \rightarrow rsaL - 1$
s_8	Creación RsaL	$rsaL * \kappa_{RsaL}$	$RsaL \rightarrow RsaL + 1$
s_9	Degradoación RsaL	$RsaL * \gamma_{RsaL}$	$RsaL \rightarrow RsaL - 1$
s_{10}	Creación lasI	$\frac{\alpha_{lasI} + \beta_{lasI} \left(\frac{LasR \cdot AI_1}{K_1} \right)^{h_1}}{\left(1 + \left(\frac{LasR \cdot AI_1}{K_1} \right)^{h_1} \right) \left(1 + \left(\frac{RsaL}{K_2} \right)^{h_2} \right)}$	$lasI \rightarrow lasI + 1$
s_{11}	Degradoación lasI	$lasI * \gamma_{lasI}$	$lasI \rightarrow lasI - 1$
s_{12}	Creación LasI	$lasI * \kappa_{LasI}$	$LasI \rightarrow LasI + 1$
s_{13}	Degradoación LasI	$LasI * \gamma_{LasI}$	$LasI \rightarrow LasI - 1$
s_{14}	Creación AI_1	$LasI * \kappa_{AI_1}$	$AI_1 \rightarrow AI_1 + 1$
s_{15}	Degradoación AI_1	$AI_1 * \gamma_{AI_1}$	$AI_1 \rightarrow AI_1 - 1$
s_{16}	Difusión A_1	$AI_1 * D$	$\dagger AI_1 \rightarrow AI_1 - 1$
s_{17}	Degradoación $LasR \cdot AI_1$	$LasR \cdot AI_1 * \gamma_{LasR \cdot AI_1}$	$LasR \cdot AI_1 \rightarrow LasR \cdot AI_1 - 1$
s_{18}	Difusión AI_{1ext}	$AI_{1ext} * D \left(\frac{N \cdot V_{cell}}{V_{ext}} \right)$	$\dagger AI_1 \rightarrow AI_1 + 1$

LasR : Activador

RsaL : Represor

LasI : Sintetizador de autoinductor

AI₁ : Autoinductor

LasR · AI₁ : Activador “activado”

κ : Tasa de producción

γ : Tasa de degradación

σ : Tasa de disociación

μ : Tasa de unión

α : Tasa basal de transcripción

β : Tasa máxima de transcripción

K : Concentración productora de la mitad de la activación/represión

n : Coeficiente de Hill

D : Constante de difusión “efectiva”

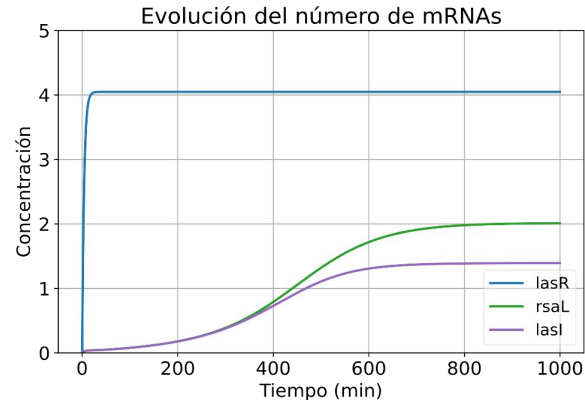
V : Volumen

N : Número de células en el medio

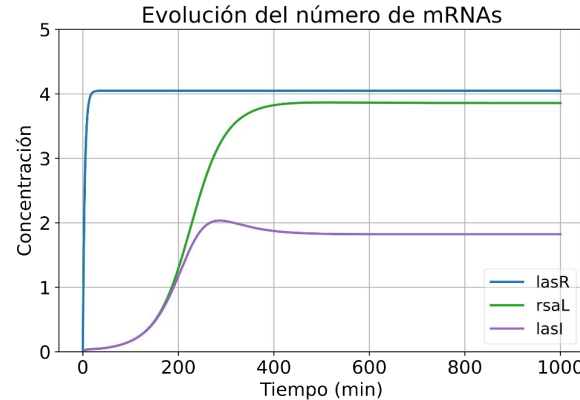
Resultados y Discusión

El modelo determinista evidencia el efecto de la densidad población en los niveles de las especies dependientes de la concentración de autoinductor

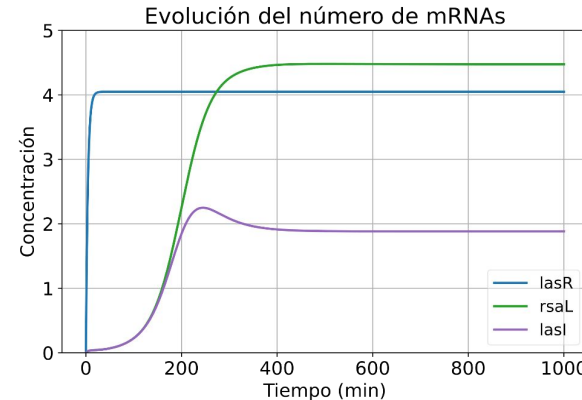
N=10



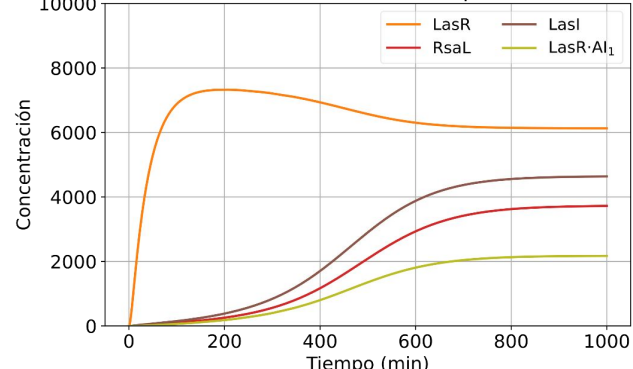
N=100



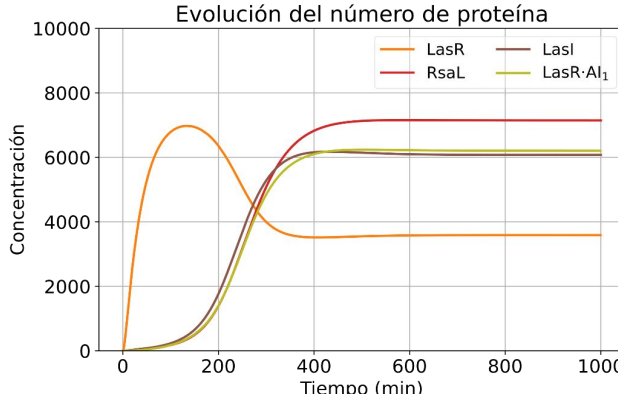
N=500



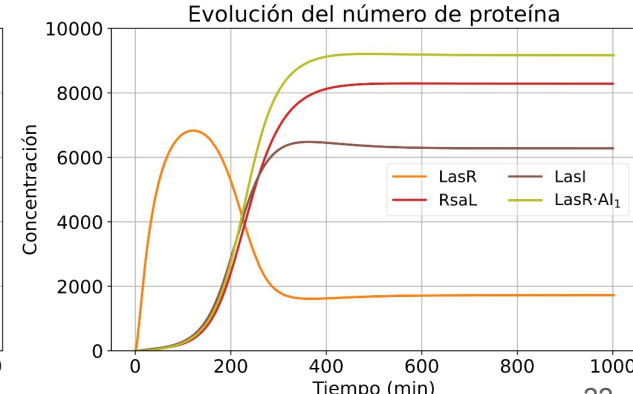
Evolución del número de proteína



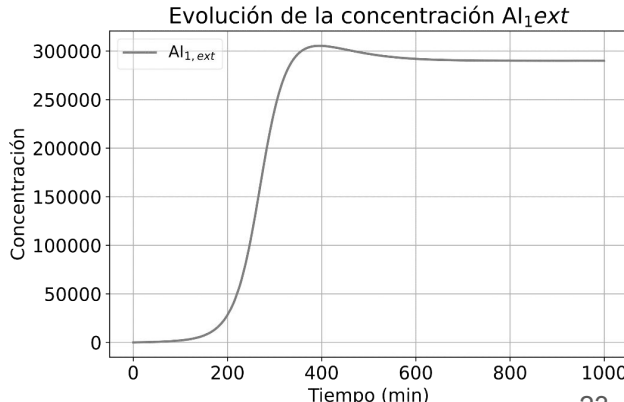
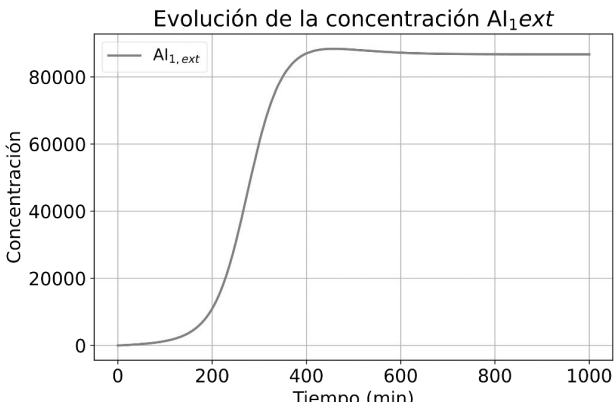
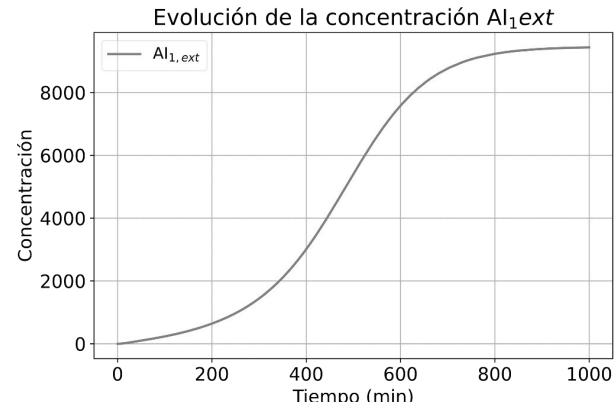
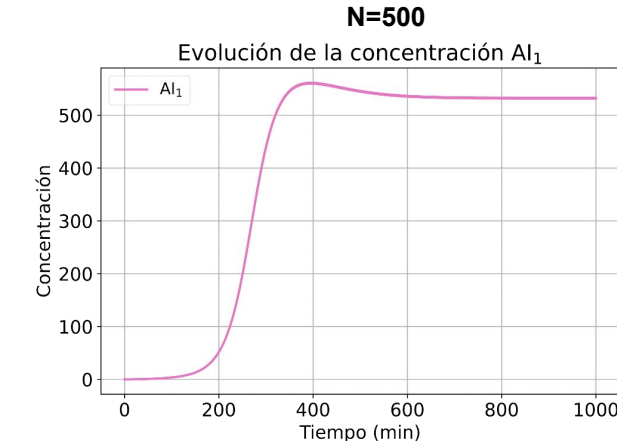
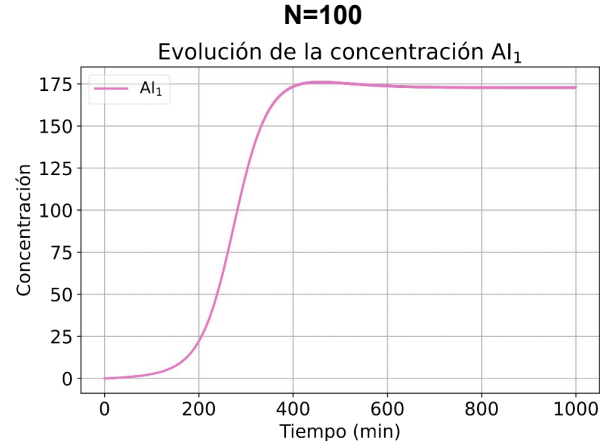
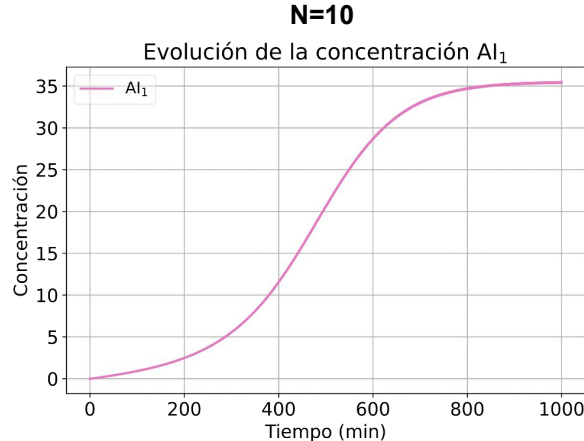
Evolución del número de proteína



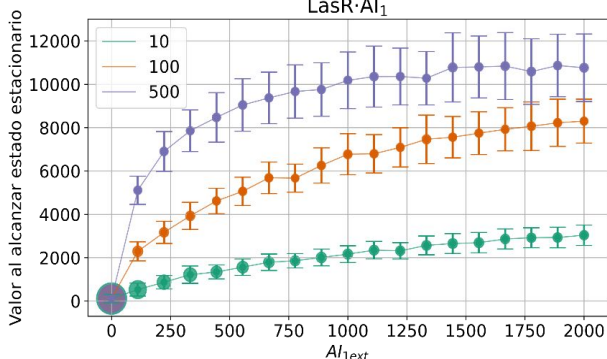
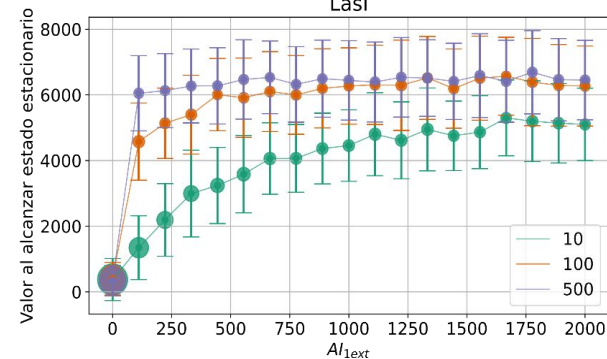
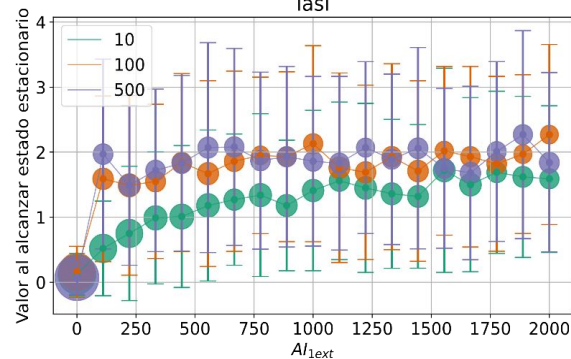
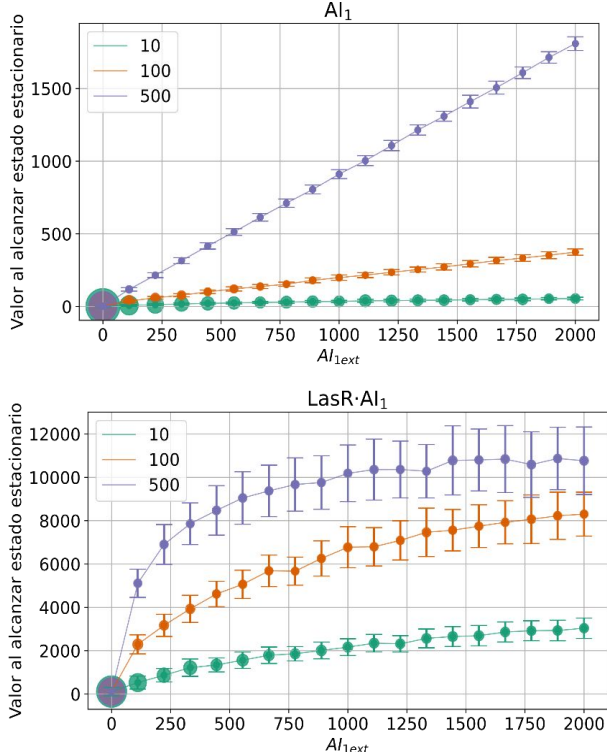
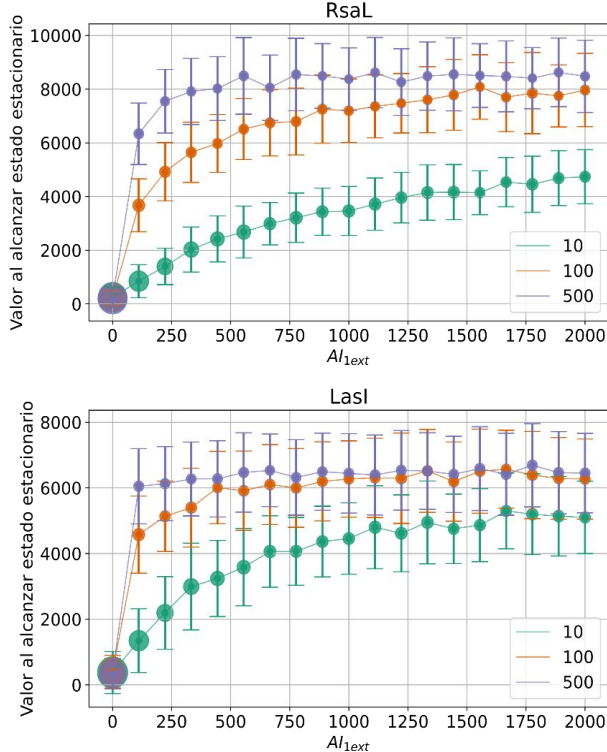
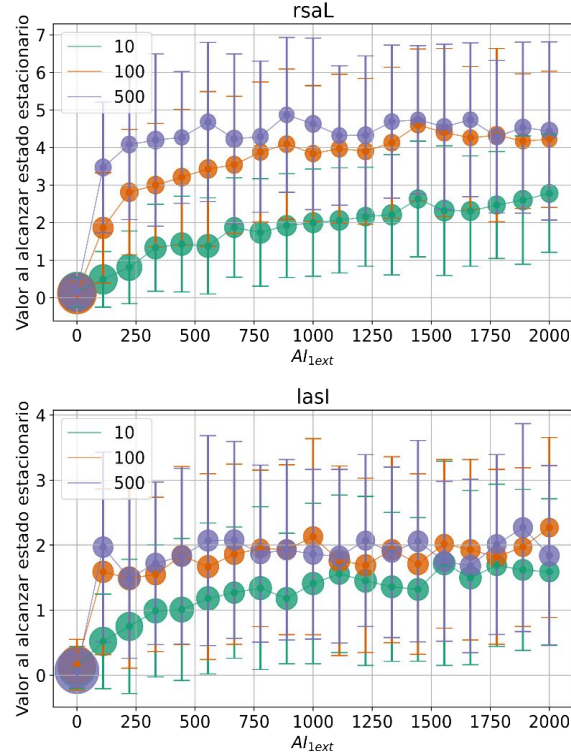
Evolución del número de proteína



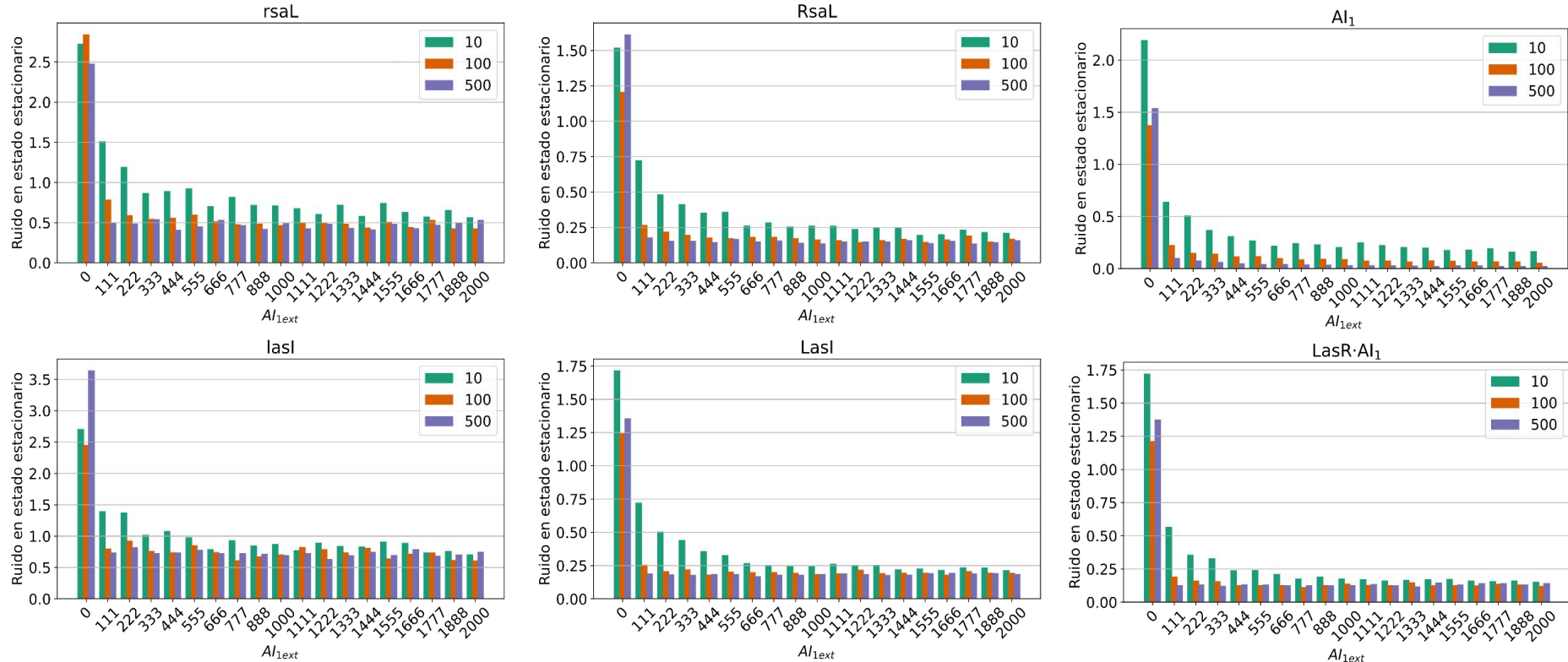
El modelo determinista evidencia el efecto de la densidad población en los niveles de las especies dependientes de la concentración de autoinductor



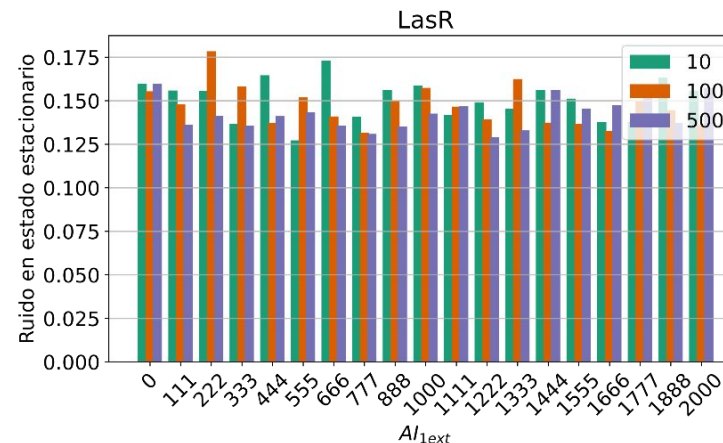
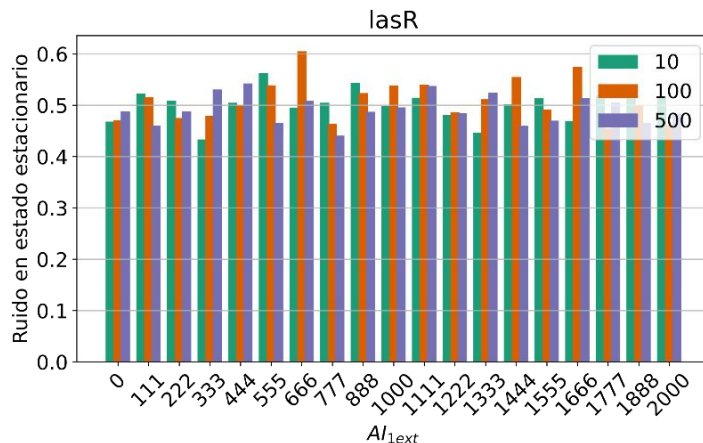
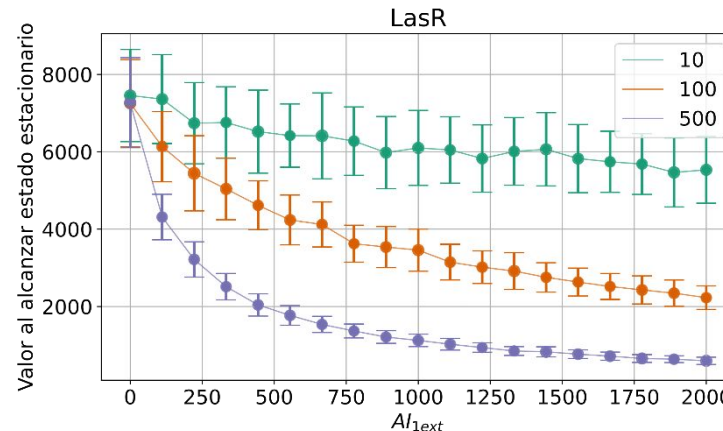
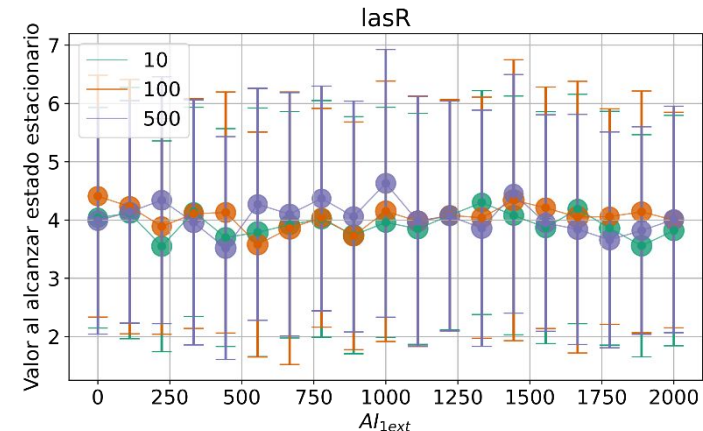
Mayor densidad poblacional corresponde a menores niveles de ruido en las especies afectadas por el autoinductor



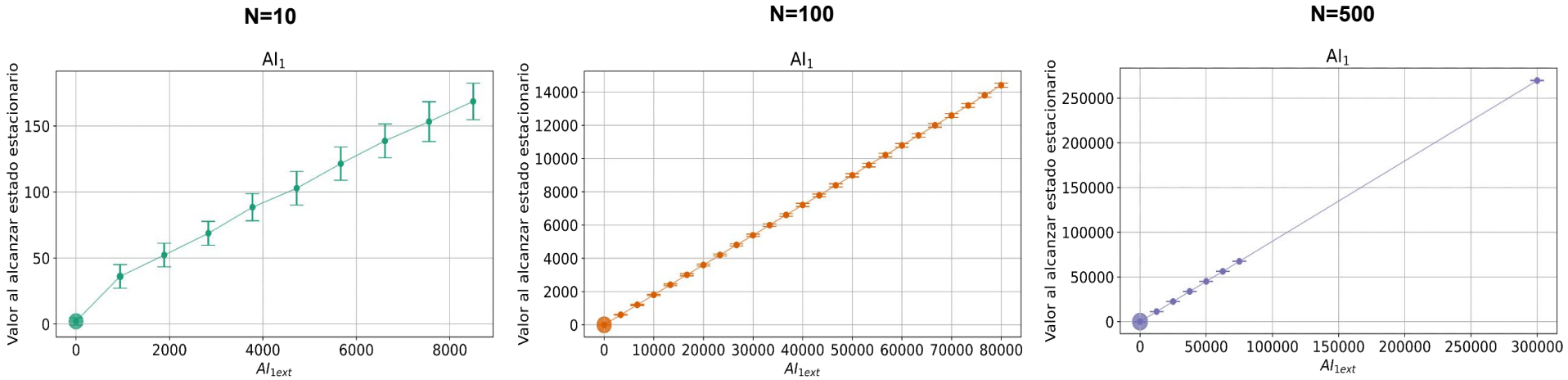
Mayor densidad poblacional corresponde a menores niveles de ruido en las especies afectadas por el autoinductor



Mayor densidad poblacional corresponde a menores niveles de ruido en las especies afectadas por el autoinductor

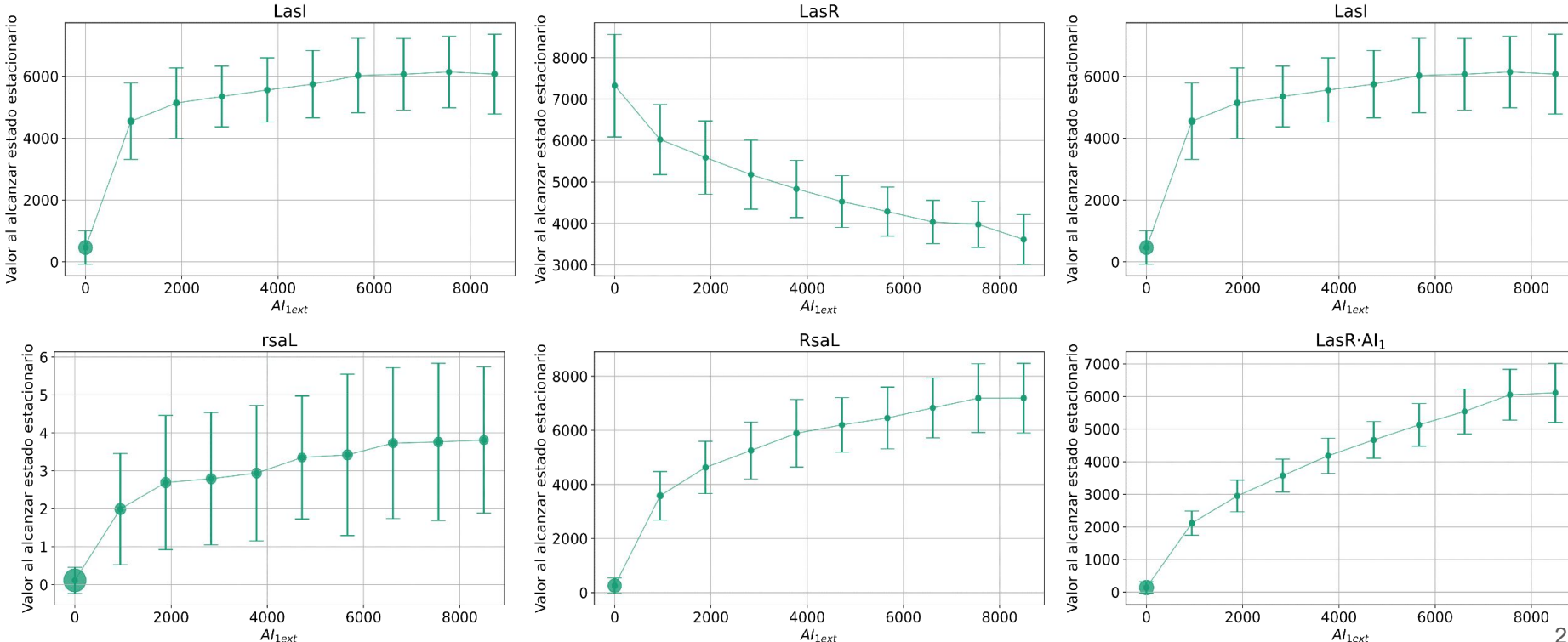


Los niveles internos de autoinductor aumentan proporcionalmente a la cantidad de autoinductor externo mientras que las demás especies químicas dependientes de esta molécula se estabilizan en valor y rango de fluctuaciones al alcanzar un nivel de saturación



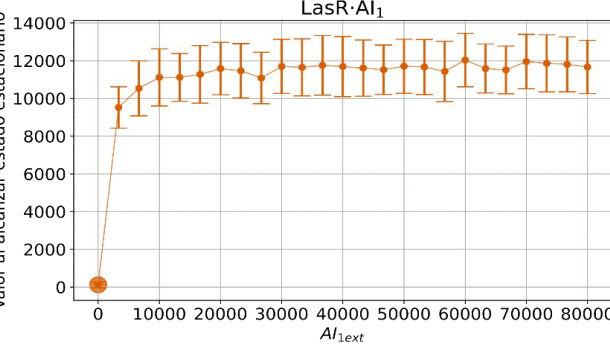
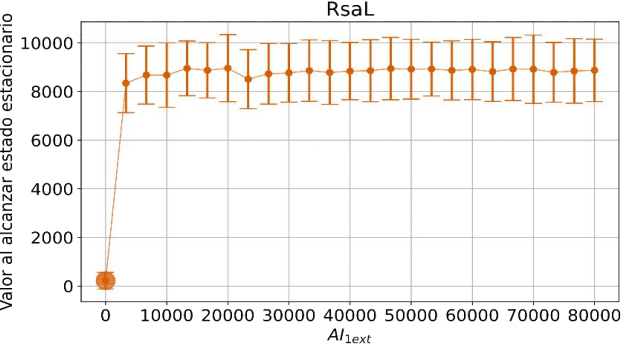
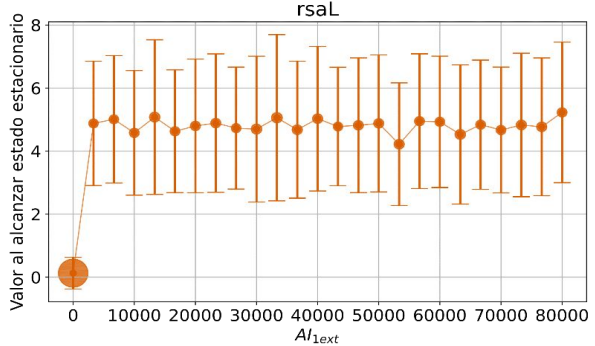
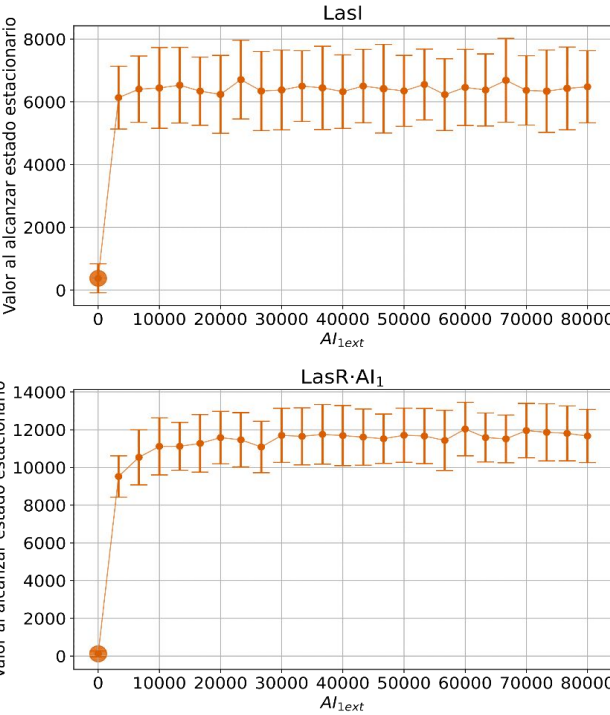
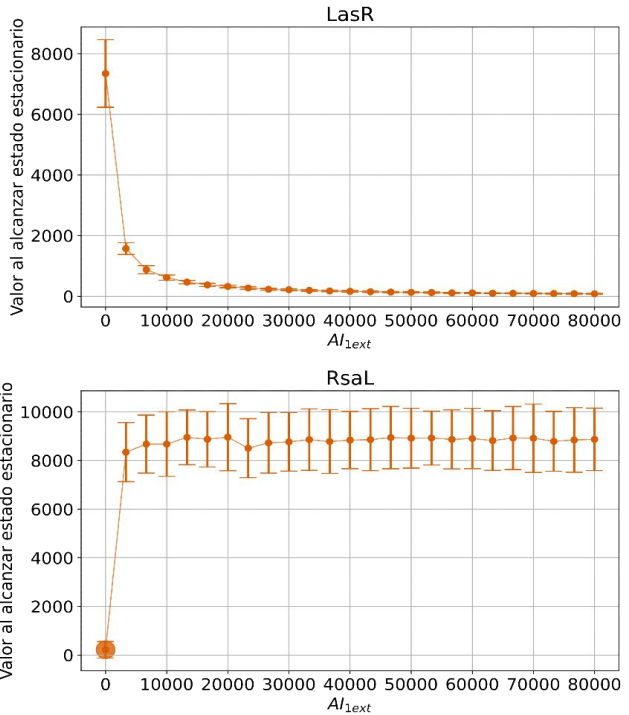
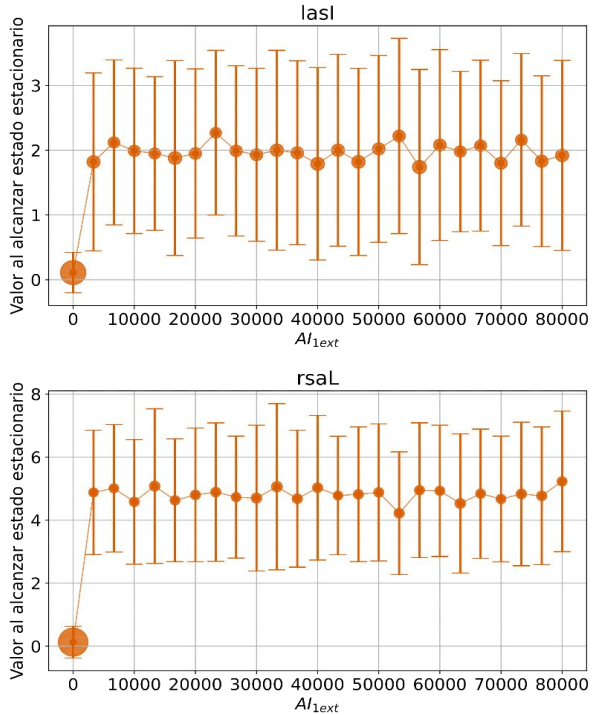
Los niveles internos de autoinductor aumentan proporcionalmente a la cantidad de autoinductor externo mientras que las demás especies químicas dependientes de esta molécula se estabilizan en valor y rango de fluctuaciones al alcanzar un nivel de saturación

N=10



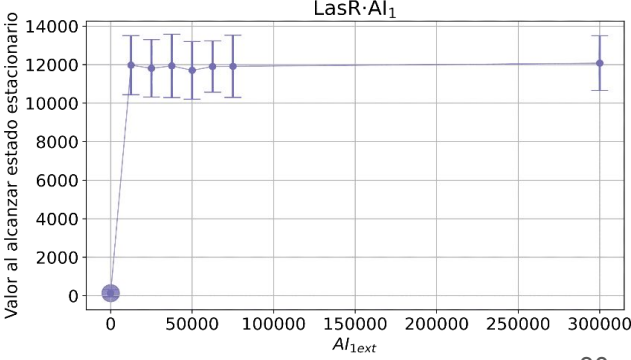
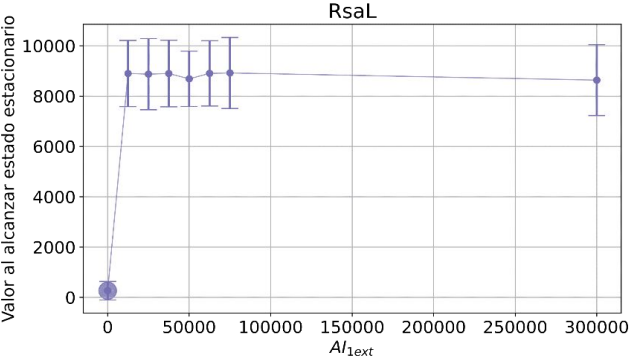
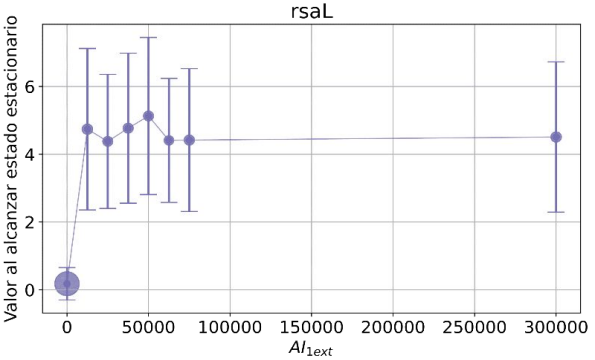
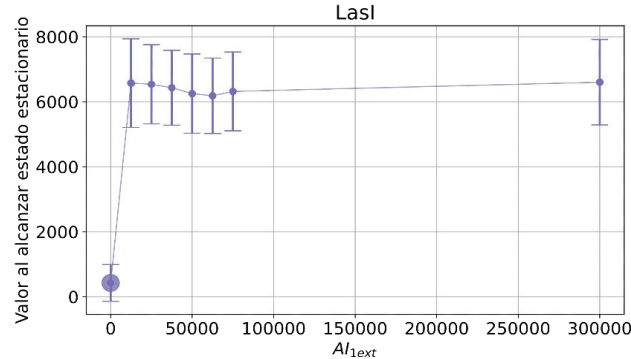
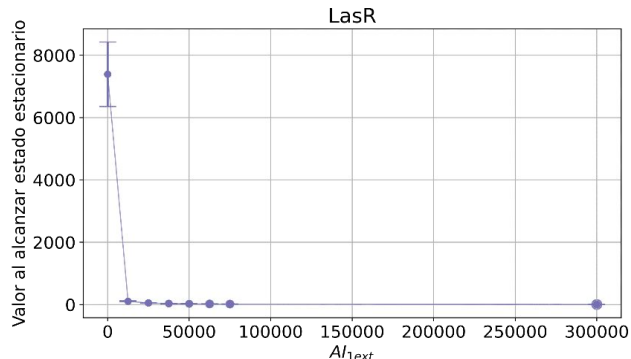
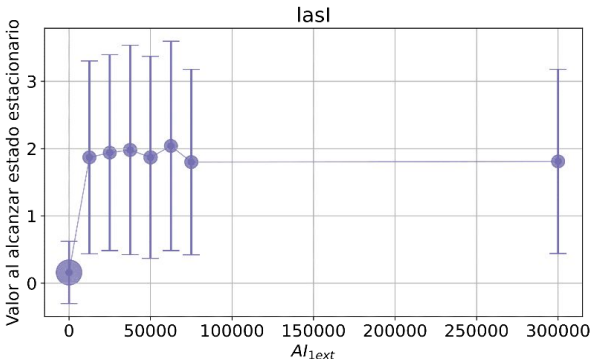
Los niveles internos de autoinductor aumentan proporcionalmente a la cantidad de autoinductor externo mientras que las demás especies químicas dependientes de esta molécula se estabilizan en valor y rango de fluctuaciones al alcanzar un nivel de saturación

N=100



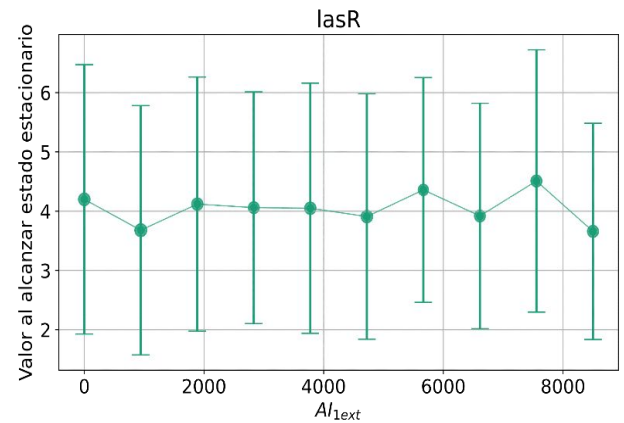
Los niveles internos de autoinductor aumentan proporcionalmente a la cantidad de autoinductor externo mientras que las demás especies químicas dependientes de esta molécula se estabilizan en valor y rango de fluctuaciones al alcanzar un nivel de saturación

N=500

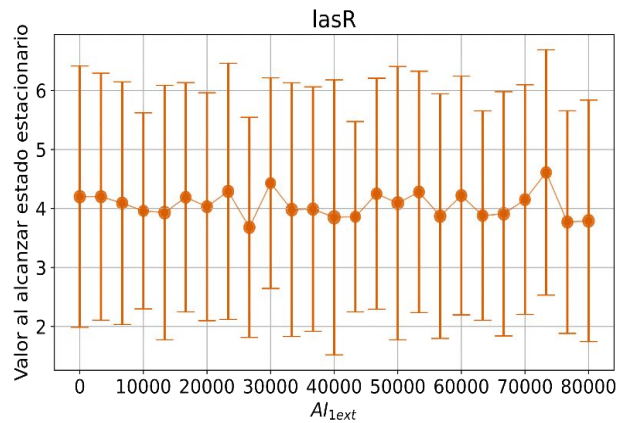


Los niveles internos de autoinductor aumentan proporcionalmente a la cantidad de autoinductor externo mientras que las demás especies químicas dependientes de esta molécula se estabilizan en valor y rango de fluctuaciones al alcanzar un nivel de saturación

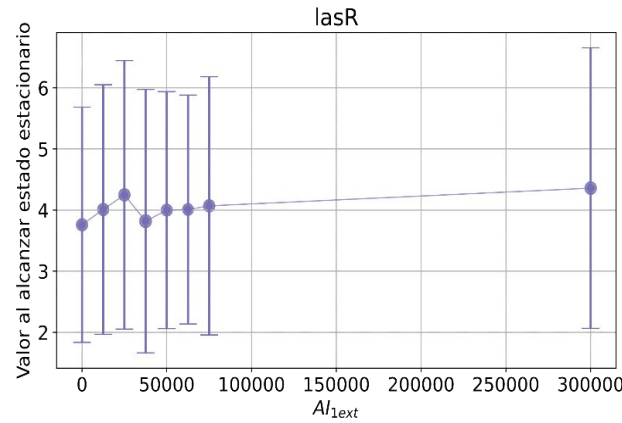
N=10



N=100



N=500



Conclusiones y Perspectivas a Futuro

Conclusiones

- Mediante la aproximación determinista, se logró capturar las características principales de expresión y regulación de las especies químicas implicadas en el sistema, además de la influencia de la densidad poblacional en la activación del circuito. Adicionalmente, se pudo observar el efecto del circuito de retroalimentación negativa en el sistema y cómo este contribuye en la homeostasis del sistema.
- Con la aproximación estocástica se determinó el papel fundamental de la densidad poblacional en la modulación del ruido dentro de la red de regulación génica en el sistema de QS, en donde, a mayor densidad poblacional, menor es el ruido en los distintos componentes de la red.
- Estos resultados demuestran la utilidad evolutiva y ecológica que poseen los sistemas de QS para regular un fenotipo en una célula, ya que no solamente dominan la dinámica de la expresión, sino que también aportan en el grado de sincronización del comportamiento de las bacterias a nivel poblacional.
- Las mayores limitantes del modelo estocástico son que la cantidad de autoinductor externo no necesariamente refleja la densidad poblacional y que solamente se consideró el ruido intrínseco.

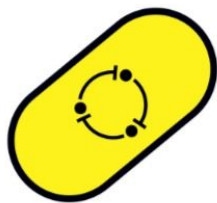
Trabajo a Futuro

- Integrar fuentes de ruido extrínseco, como el ruido proveniente de la división y crecimiento celular.
- Incluir los demás módulos del sistema completo de QS de *P. aeruginosa*.
- Incluir algunos de los genes objetivo que son regulados por los distintos componentes del sistema de QS de *P. aeruginosa* para evaluar con mayor claridad la relación entre la regulación génica por parte de este circuito y la expresión del fenotipo de virulencia.

Agradecimientos



Juan Manuel Pedraza



Systems
Biology
Uniandes

 Universidad de
los Andes | Grupo de Investigación
Biofísica



Exacore/HPC Uniandes

Gracias

Parámetros del modelo

Parámetro	Descripción	Valor
κ_{lasR}	Tasa de transcripción de lasR	1 moléculas/min [†]
γ_{lasR}	Tasa de degradación de lasR	0.247 min ⁻¹ [†]
κ_{LasR}	Tasa de traducción de LasR	50 min ⁻¹ [†]
γ_{LasR}	Tasa de degradación de lasR	0.027 min ⁻¹ [†]
α_{rsaL}	Tasa de transcripción basal de rsaL	0.01 moléculas/min [‡]
β_{rsaL}	Tasa de transcripción máxima de rsaL	1.5 moléculas/min [‡]
K_1	Constante de disociación de LasR·Al ₁ a su operador	4000 moléculas [‡]
h_1^*	Coeficiente de cooperatividad entre LasR·Al ₁ y su operador	1.2 [‡]
γ_{rsaL}	Tasa de degradación de rsaL	0.247 min ⁻¹ [†]
κ_{RsaL}	Tasa de traducción de RsaL	50 min ⁻¹ [†]
γ_{RsaL}	Tasa de degradación de RsaL	0.027 min ⁻¹ [†]
α_{lasI}	Tasa de transcripción basal de lasI	0.01 moléculas/min [†]
β_{lasI}	Tasa de transcripción máxima de lasI	1.5 moléculas/min [†]
K_2	Constante de disociación de RsaL a su operador	6500 moléculas [‡]
h_2^*	Coeficiente de cooperatividad entre RsaL y su operador	1.4 [‡]
γ_{lasI}	Tasa de degradación de lasI	0.247 min ⁻¹ [†]
κ_{LasI}	Tasa de traducción de LasI	50 min ⁻¹ [†]
γ_{LasI}	Tasa de degradación LasI	0.015 min ⁻¹ [†]
κ_{AI1}	Tasa de síntesis de Al ₁	0.04 min ⁻¹ [†]
γ_{AI1}	Tasa de degradación de Al ₁	0.008 min ⁻¹ [†]
γ_{AI1ext}	Tasa de degradación de Al ₁ en medio externo	0.057 min ⁻¹ [†]
$\sigma_{LasR\cdot AI1}$	Tasa de disociación de LasR·Al ₁	10 min ⁻¹ [†]
$k_{d-LasR\cdot AI1}$	Constante de disociación de LasR·Al ₁	100 moléculas [†]
$\gamma_{LasR\cdot AI1}$	Tasa de degradación LasR·Al ₁	0.017 min ⁻¹ [†]
D	Tasa de difusión de Al ₁ a través de la membrana celular	8 min ⁻¹ [†]
D_{away}	Tasa a la que Al _{1ext} se difunde fuera del micropozo	0.1 min ⁻¹ [‡]
V_{cell}	Volumen típico de una célula de <i>P. aeruginosa</i>	$1.8 \times 10^{-9} 10 \mu\text{l}/\text{célula}$ [†]
V_{ext}	Volumen típico de un pozo en un dispositivo de microfluídica	$1 \times 10^{-6} 10 \mu\text{l}$ [†]

*Coeficiente de Hill.

[†]Tomado de Boada et al., 2017.

ACS Synthetic Biology

[‡]Estimado.